

C

M

M

Y

O

L

V

-8

-6

C

M

Y

O

L

V

-8

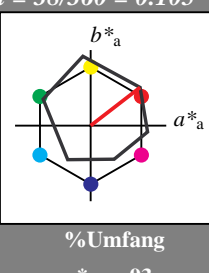
-6

Eingabe: Farbmatrik-Offset-Reflektiv-System ORS18

für Bunnton $h^* = lab^*h = 38/360 = 0.105$
 lab^*tch und lab^*nch

D65: Bunnton O
LCH*Ma: 48 83 38
olv*Ma: 1.0 0.0 0.0

Dreiecks-Helligkeit

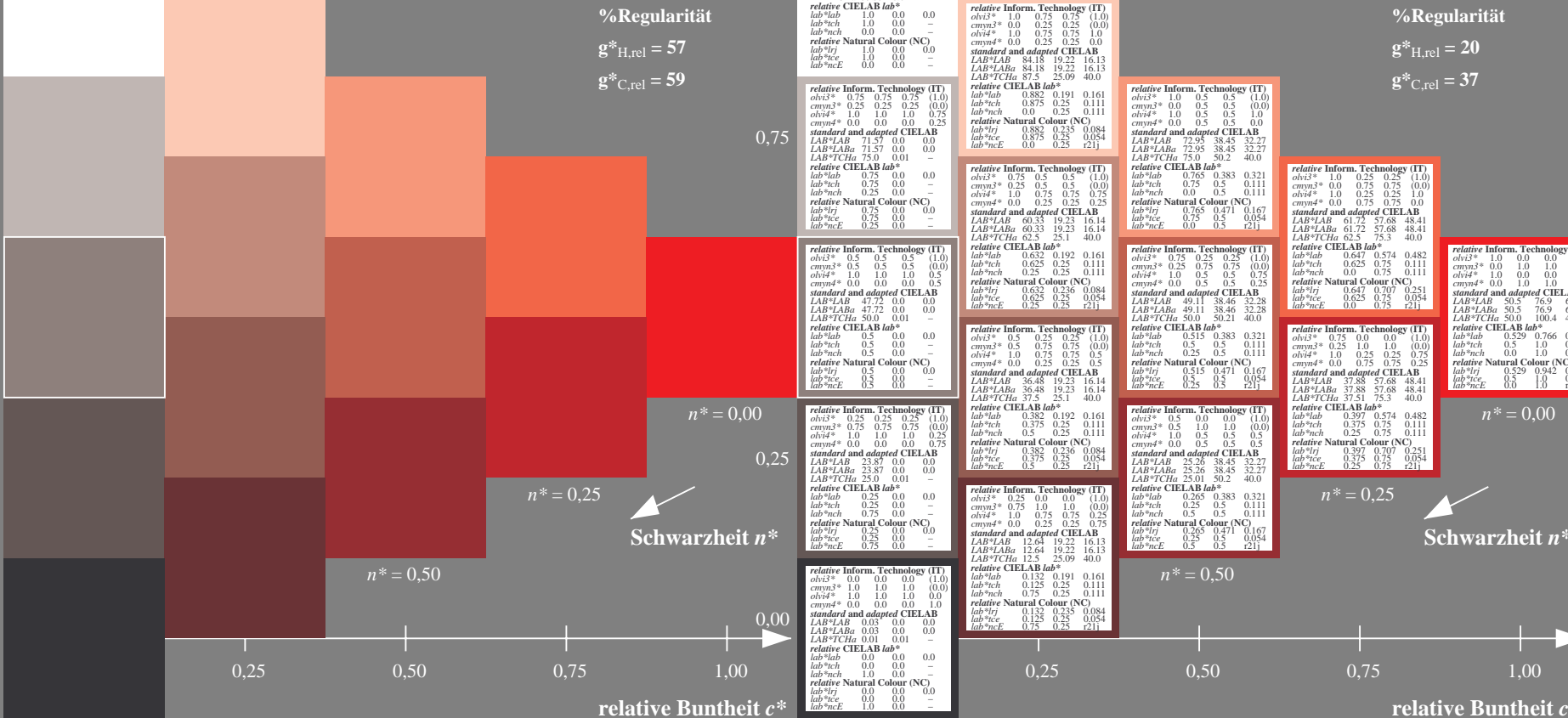


ORS18; adaptierte CIELAB-Daten

	$L^*=L^*_a$	a^*_a	b^*_a	$C^*_{ab,a}$	$h^*_{ab,a}$
OMa	47.94	65.39	50.52	82.63	38
YM	90.37	-10.26	91.75	92.32	96
LM	50.9	-62.83	34.96	71.91	151
CM	58.62	-30.34	-45.01	54.3	236
VM	25.72	31.1	-44.4	54.22	305
MM	48.13	75.28	-8.36	75.74	354
NM	18.01	0.0	0.0	0.0	0
WM	95.41	0.0	0.0	0.0	0
RCIE	39.92	58.66	26.98	64.57	25
JCIE	81.26	-2.16	67.76	67.79	92
GCIE	52.23	-42.25	11.76	43.87	164
BCIE	30.57	1.15	-46.84	46.86	271



%Regularität

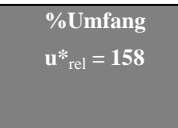
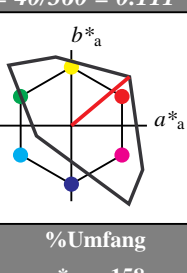
 $g^*_{H,rel} = 57$ $g^*_{C,rel} = 59$ 

Ausgabe: Farbmatrik-Fernseh-Licht-System TLS00

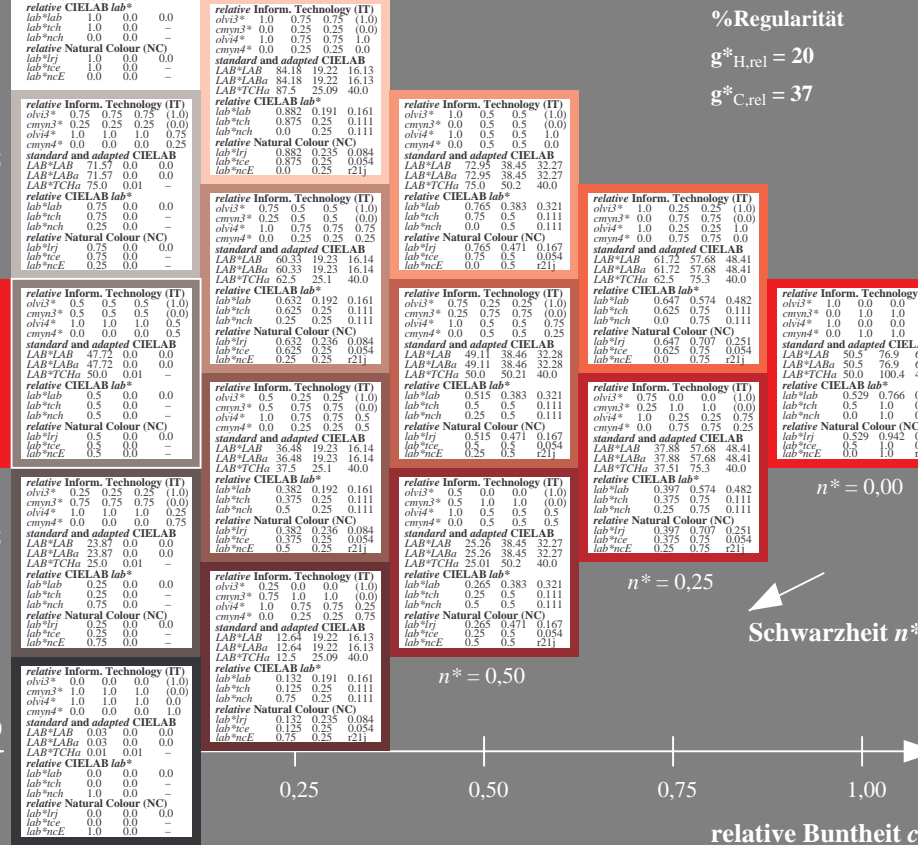
für Bunnton $h^* = lab^*h = 40/360 = 0.111$
 lab^*tch und lab^*nch

D65: Bunnton O
LCH*Ma: 51 100 40
olv*Ma: 1.0 0.0 0.0

Dreiecks-Helligkeit



%Regularität

 $g^*_{H,rel} = 20$ $g^*_{C,rel} = 37$ 

Eingabe: Farbmatisches Offset-Reflektiv-System ORS18

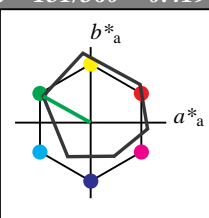
für Bunton $h^* = lab^*h = 151/360 = 0.419$
 lab^*tch und lab^*nch

D65: Bunton L

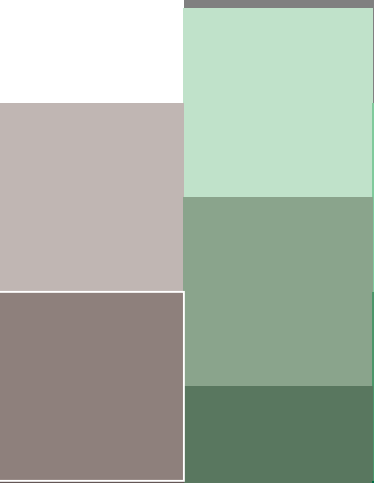
LCH*Ma: 51 72 151

olv*Ma: 0.0 1.0 0.0

Dreiecks-Helligkeit

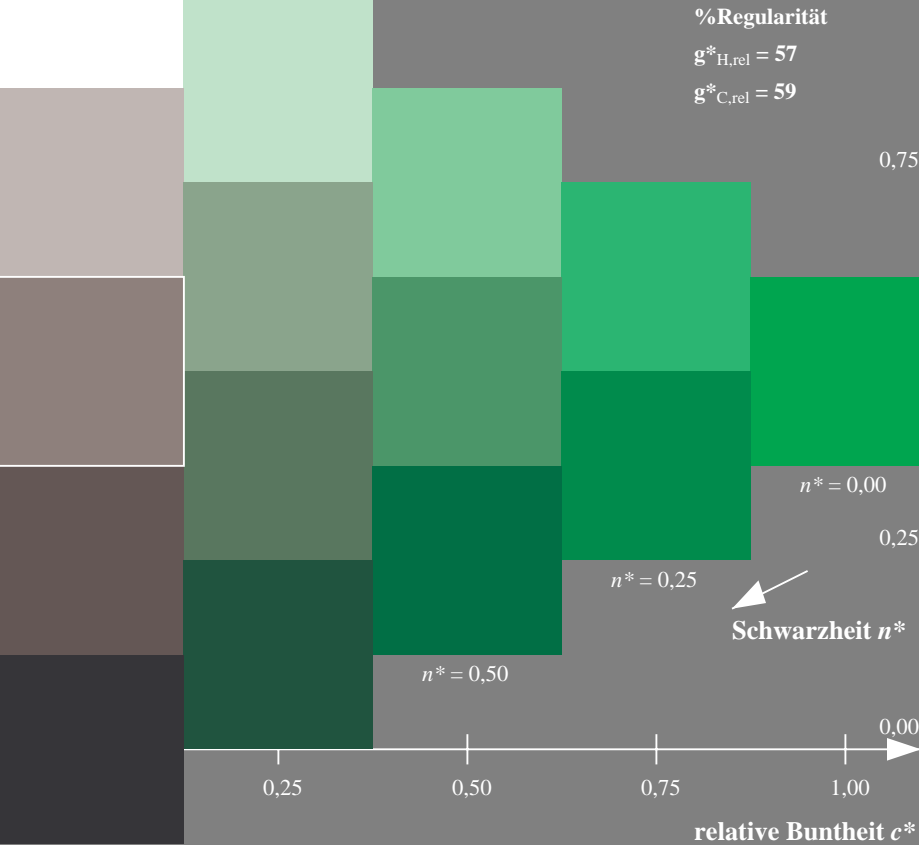


%Umfang

 $u^*_{rel} = 93$ 

ORS18; adaptierte CIELAB-Daten

	$L^*=L^*_a$	a^*_a	b^*_a	$C^*_{ab,a}$	$h^*_{ab,a}$
OMa	47.94	65.39	50.52	82.63	38
YMa	90.37	-10.26	91.75	92.32	96
LMa	50.9	-62.83	34.96	71.91	151
CMa	58.62	-30.34	-45.01	54.3	236
VMa	25.72	31.1	-44.4	54.22	305
MMa	48.13	75.28	-8.36	75.74	354
NMa	18.01	0.0	0.0	0.0	0
WMa	95.41	0.0	0.0	0.0	0
RCIE	39.92	58.66	26.98	64.57	25
JCIE	81.26	-2.16	67.76	67.79	92
GCIE	52.23	-42.25	11.76	43.87	164
BCIE	30.57	1.15	-46.84	46.86	271



Ausgabe: Farbmatisches Fernseh-Licht-System TLS00

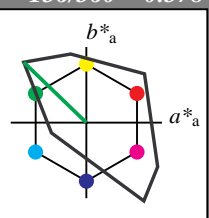
für Bunton $h^* = lab^*h = 136/360 = 0.378$ lab^*tch und lab^*nch

D65: Bunton L

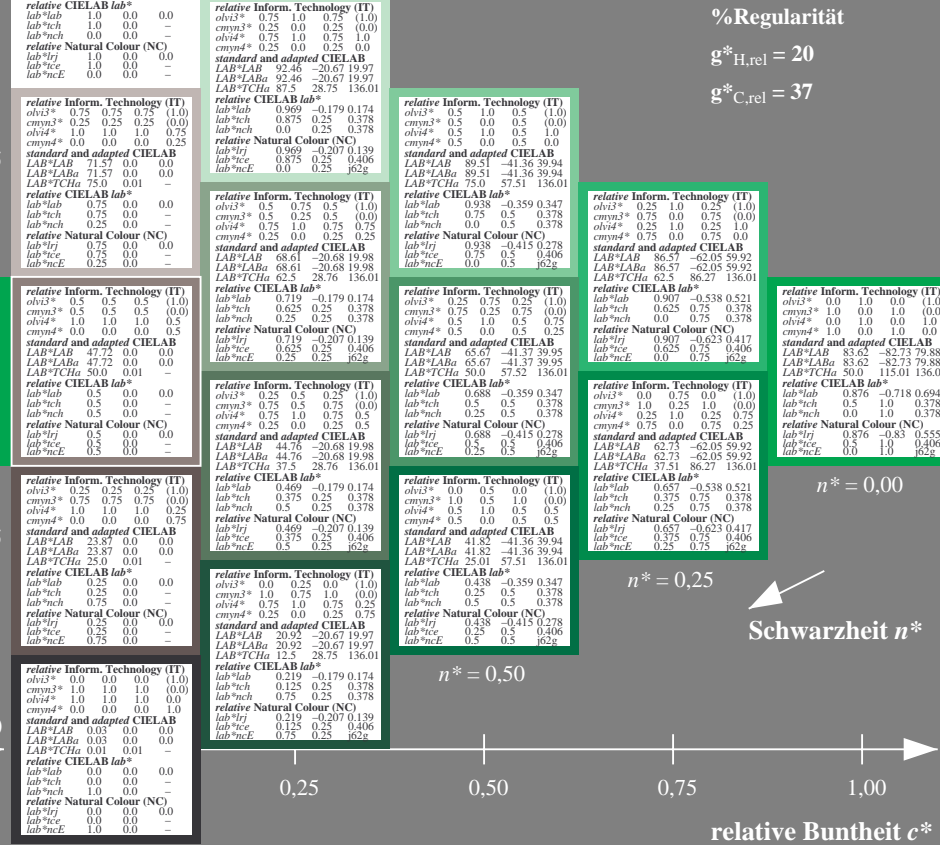
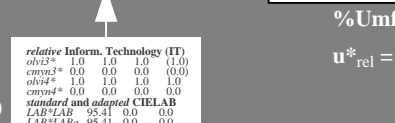
LCH*Ma: 84 115 136

olv*Ma: 0.0 1.0 0.0

Dreiecks-Helligkeit



%Umfang

 $u^*_{rel} = 158$ 

Siehe ähnliche Dateien: <http://www.ps.bam.de/OG40/>
Technische Information: <http://www.ps.bam.de> Version 2.1, io=0

Eingabe: Farbmétrisches Offset-Reflektiv-System ORS18

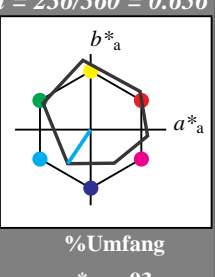
für Bunton $h^* = lab^*h = 236/360 = 0.656$
 lab^*tch und lab^*nch

D65: Bunton C

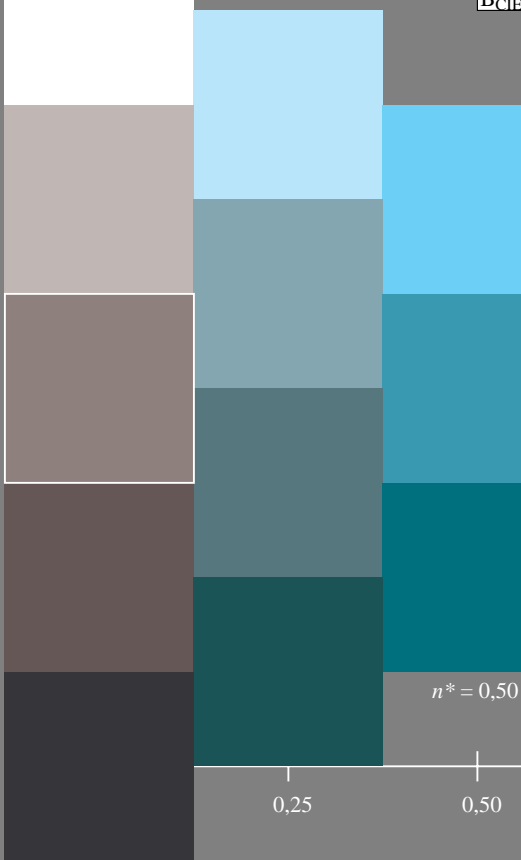
LCH*Ma: 59 54 236

olv*Ma: 0.0 1.0 1.0

Dreiecks-Helligkeit



1,00



ORS18; adaptierte CIELAB-Daten

	$L^*=L^*_a$	a^*_a	b^*_a	$C^*_{ab,a}$	$h^*_{ab,a}$
O _{Ma}	47.94	65.39	50.52	82.63	38
Y _{Ma}	90.37	-10.26	91.75	92.32	96
L _{Ma}	50.9	-62.83	34.96	71.91	151
C _{Ma}	58.62	-30.34	-45.01	54.3	236
V _{Ma}	25.72	31.1	-44.4	54.22	305
M _{Ma}	48.13	75.28	-8.36	75.74	354
N _{Ma}	18.01	0.0	0.0	0.0	0
W _{Ma}	95.41	0.0	0.0	0.0	0
R _{CIE}	39.92	58.66	26.98	64.57	25
J _{CIE}	81.26	-2.16	67.76	67.79	92
G _{CIE}	52.23	-42.25	11.76	43.87	164
B _{CIE}	30.57	1.15	-46.84	46.86	271

Ausgabe: Farbmétrisches Fernseh-Licht-System TLS00

für Bunton $h^* = lab^*h = 196/360 = 0.545$

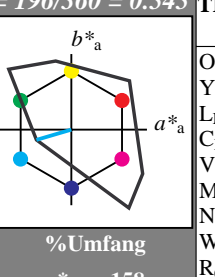
lab^*tch und lab^*nch

D65: Bunton C

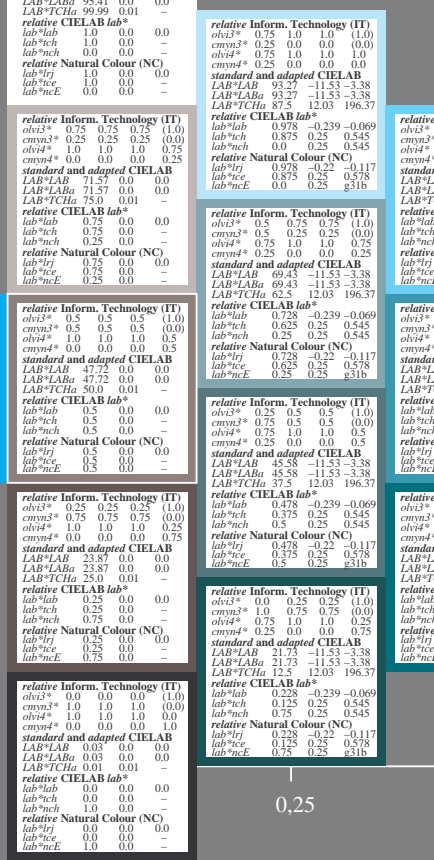
LCH*Ma: 87 48 196

olv*Ma: 0.0 1.0 1.0

Dreiecks-Helligkeit



1,00



TLS00; adaptierte CIELAB-Daten

	$L^*=L^*_a$	a^*_a	b^*_a	$C^*_{ab,a}$	$h^*_{ab,a}$
O _{Ma}	50.5	76.92	64.55	100.42	40
Y _{Ma}	92.66	-20.69	90.75	93.08	103
L _{Ma}	83.63	-82.75	79.9	115.04	136
C _{Ma}	86.88	-46.16	-13.55	48.12	196
V _{Ma}	30.39	76.06	-103.59	128.52	306
M _{Ma}	57.3	94.35	-58.41	110.97	328
N _{Ma}	0.01	0.0	0.0	0.0	0
W _{Ma}	95.41	0.0	0.0	0.0	0
R _{CIE}	39.92	58.74	27.99	65.07	25
J _{CIE}	81.26	-2.88	71.56	71.62	92
G _{CIE}	52.23	-42.41	13.6	44.55	162
B _{CIE}	30.57	1.41	-46.46	46.49	272

%Regularität

$g^*_{H,rel} = 20$

$g^*_{C,rel} = 37$

n* = 0,00

Schwarzheit n*

n* = 0,50

Schwarzheit n*

n* = 1,00

$L^*=L^*_a$	a^*_a	b^*_a	$C^*_{ab,a}$	$h^*_{ab,a}$
O _{Ma} 47.94	65.39	50.52	82.63	38
Y _{Ma} 90.37	-10.26	91.75	92.32	96
L _{Ma} 50.9	-62.83	34.96	71.91	151
C _{Ma} 58.62	-30.34	-45.01	54.3	236
V _{Ma} 25.72	31.1	-44.4	54.22	305
M _{Ma} 48.13	75.28	-8.36	75.74	354
N _{Ma} 18.01	0.0	0.0	0.0	0
W _{Ma} 95.41	0.0	0.0	0.0	0
R _{CIE} 39.92	58.66	26.98	64.57	25
J _{CIE} 81.26	-2.16	67.76	67.79	92
G _{CIE} 52.23	-42.25	11.76	43.87	164
B _{CIE} 30.57	1.15	-46.84	46.86	271

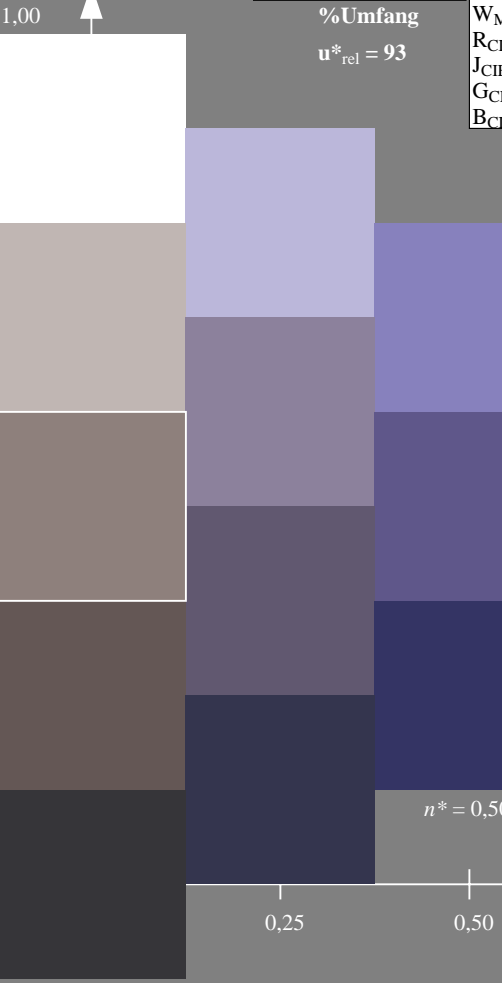
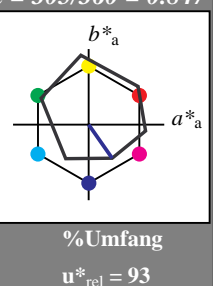
$L^*=L^*_a$	a^*_a	b^*_a	$C^*_{ab,a}$	$h^*_{ab,a}$
O _{Ma} 50.5	76.92	64.55	100.42	40
Y _{Ma} 92.66	-20.69	90.75	93.08	103
L _{Ma} 83.63	-82.75	79.9	115.04	136
C _{Ma} 86.88	-46.16	-13.55	48.12	196
V _{Ma} 30.39	76.06	-103.59	128.52	306
M _{Ma} 57.3	94.35	-58.41	110.97	328
N _{Ma} 0.01	0.0	0.0	0.0	0
W _{Ma} 95.41	0.0	0.0	0.0	0
R _{CIE} 39.92	58.74	27.99	65.07	25
J _{CIE} 81.26	-2.88	71.56	71.62	92
G _{CIE} 52.23	-42.41	13.6	44.55	162
B _{CIE} 30.57	1.41	-46.46	46.49	272

Eingabe: Farbmétrisches Offset-Reflektiv-System ORS18

für Bunton $h^* = lab^*h = 305/360 = 0.847$
 lab^*tch und lab^*nch

D65: Bunton V
LCH*Ma: 26 54 305
olv*Ma: 0.0 0.0 1.0

Dreiecks-Helligkeit



OG400-7, 5 stufige Reihen für konstanten CIELAB Bunnton 305/360 = 0.847 (links)

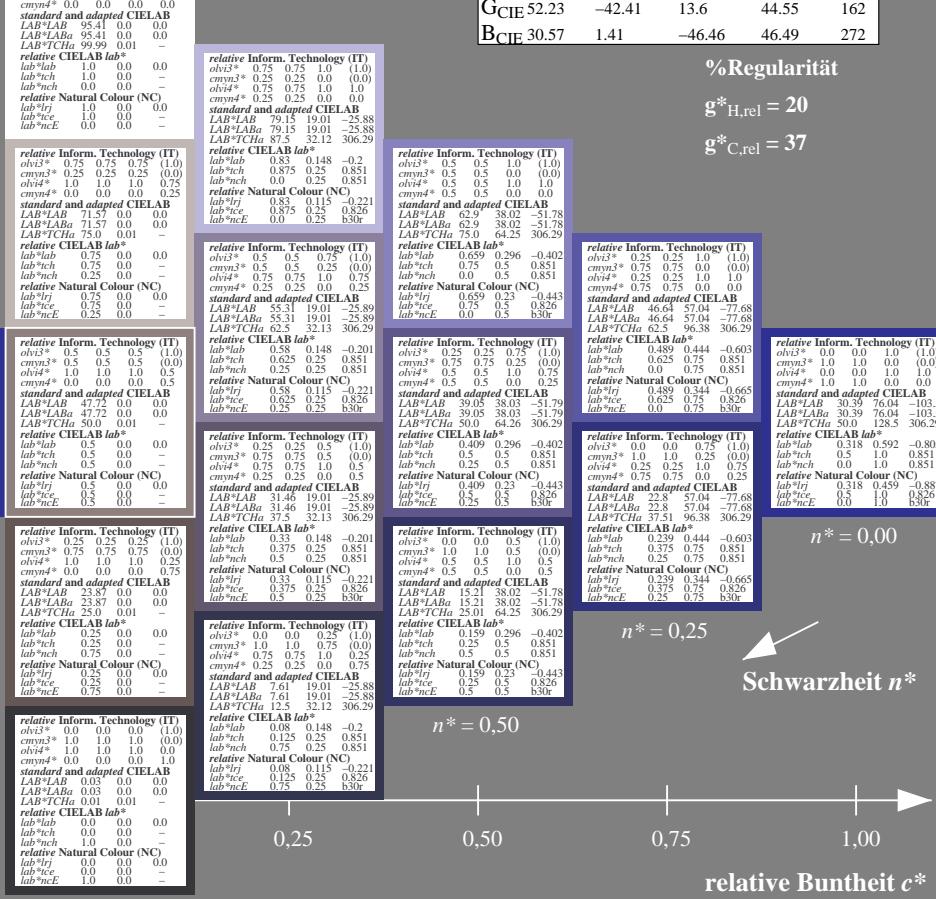
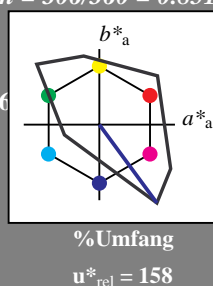
BAM-Prüfvorlage OG40; Farbmétrik-Systeme ORS18 & TLS00 input: $cmy0*$ setcmykcolor
D65: 5stufige Farbreihen und Koordinatendaten für 10 Bunntöne output: no change compared to input

Ausgabe: Farbmétrisches Fernseh-Licht-System TLS00

für Bunton $h^* = lab^*h = 306/360 = 0.851$
 lab^*tch und lab^*nch

D65: Bunton V
LCH*Ma: 30 129 306
olv*Ma: 0.0 0.0 1.0

Dreiecks-Helligkeit



5 stufige Reihen für konstanten CIELAB Bunnton 306/360 = 0.851 (rechts)



Eingabe: Farbmétrisches Offset-Reflektiv-System ORS18

für Bunton $h^* = lab^*h = 354/360 = 0.982$

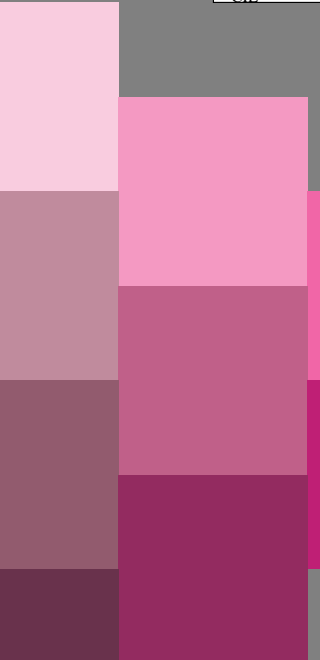
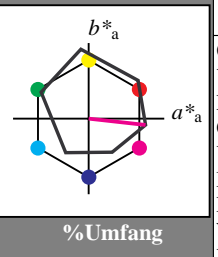
lab^{*tch} und lab^{*nch}

D65: Bunton M

LCH*Ma: 48 76 354

olv*Ma: 1.0 0.0 1.0

Dreiecks-Helligkeit



relative Buntheit c^*

OG400-7, 5 stufige Reihen für konstanten CIELAB Bunton 354/360 = 0.982 (links)

BAM-Prüfvorlage OG40; Farbmétrik-Systeme ORS18 & TLS00 input: cmy0* setcmykcolor

D65: 5stufige Farbreihen und Koordinatendaten für 10 Bunttöne output: no change compared to input

Ausgabe: Farbmétrisches Fernseh-Licht-System TLS00

für Bunton $h^* = lab^*h = 328/360 = 0.912$

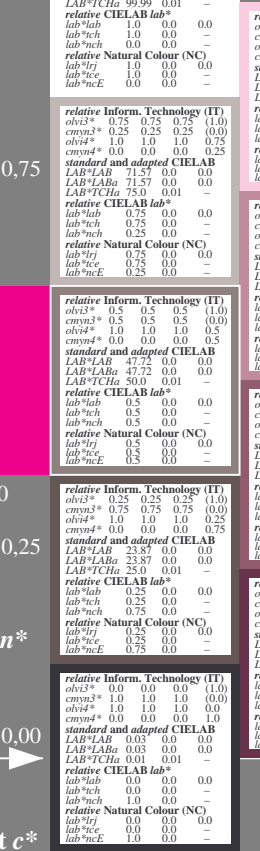
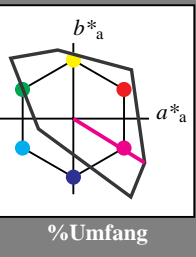
lab^{*tch} und lab^{*nch}

D65: Bunton M

LCH*Ma: 57 111 328

olv*Ma: 1.0 0.0 1.0

Dreiecks-Helligkeit



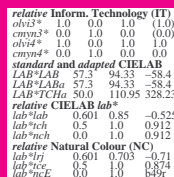
relative Buntheit c^*

5 stufige Reihen für konstanten CIELAB Bunton 328/360 = 0.912 (rechts)

%Regularität

$g^*_{H,rel} = 20$

$g^*_{C,rel} = 37$



$n^* = 0,00$

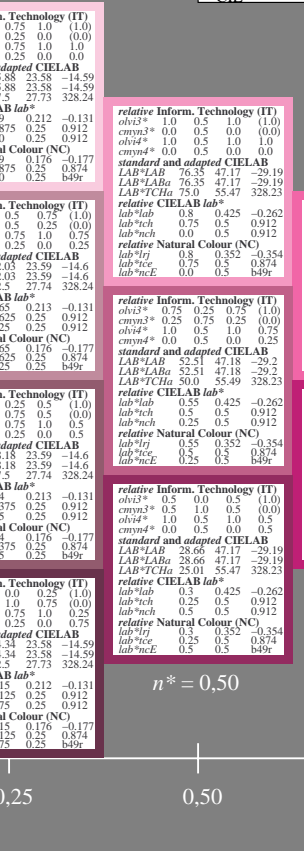
Schwarzheit n^*

$n^* = 0,25$

Schwarzheit n^*

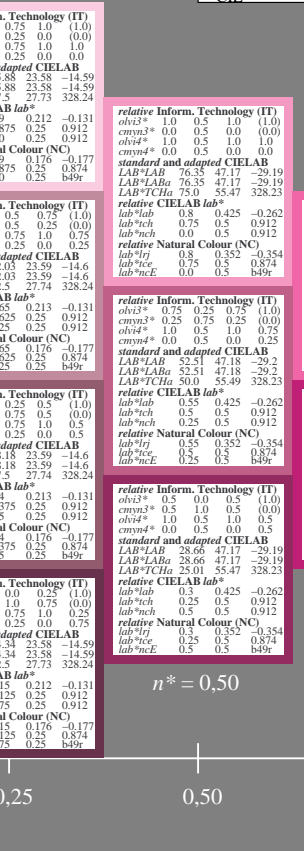
relative Buntheit c^*

5 stufige Reihen für konstanten CIELAB Bunton 328/360 = 0.912 (rechts)



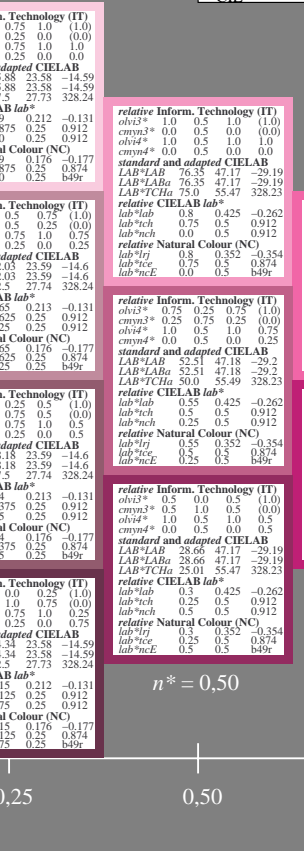
relative Buntheit c^*

5 stufige Reihen für konstanten CIELAB Bunton 328/360 = 0.912 (rechts)



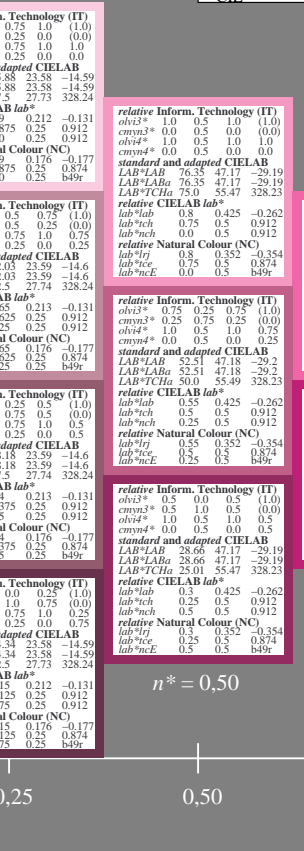
relative Buntheit c^*

5 stufige Reihen für konstanten CIELAB Bunton 328/360 = 0.912 (rechts)



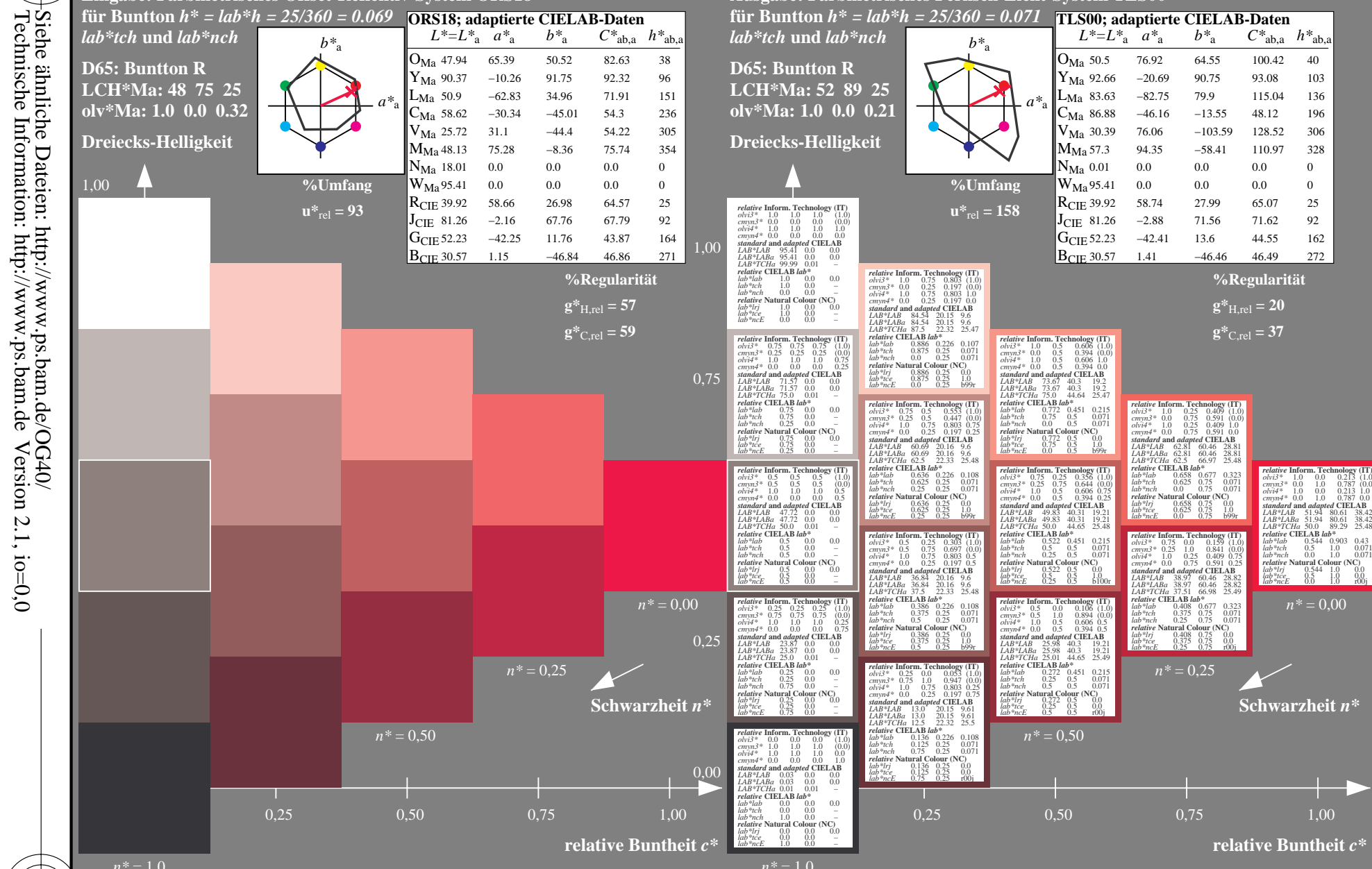
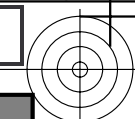
relative Buntheit c^*

5 stufige Reihen für konstanten CIELAB Bunton 328/360 = 0.912 (rechts)



relative Buntheit c^*

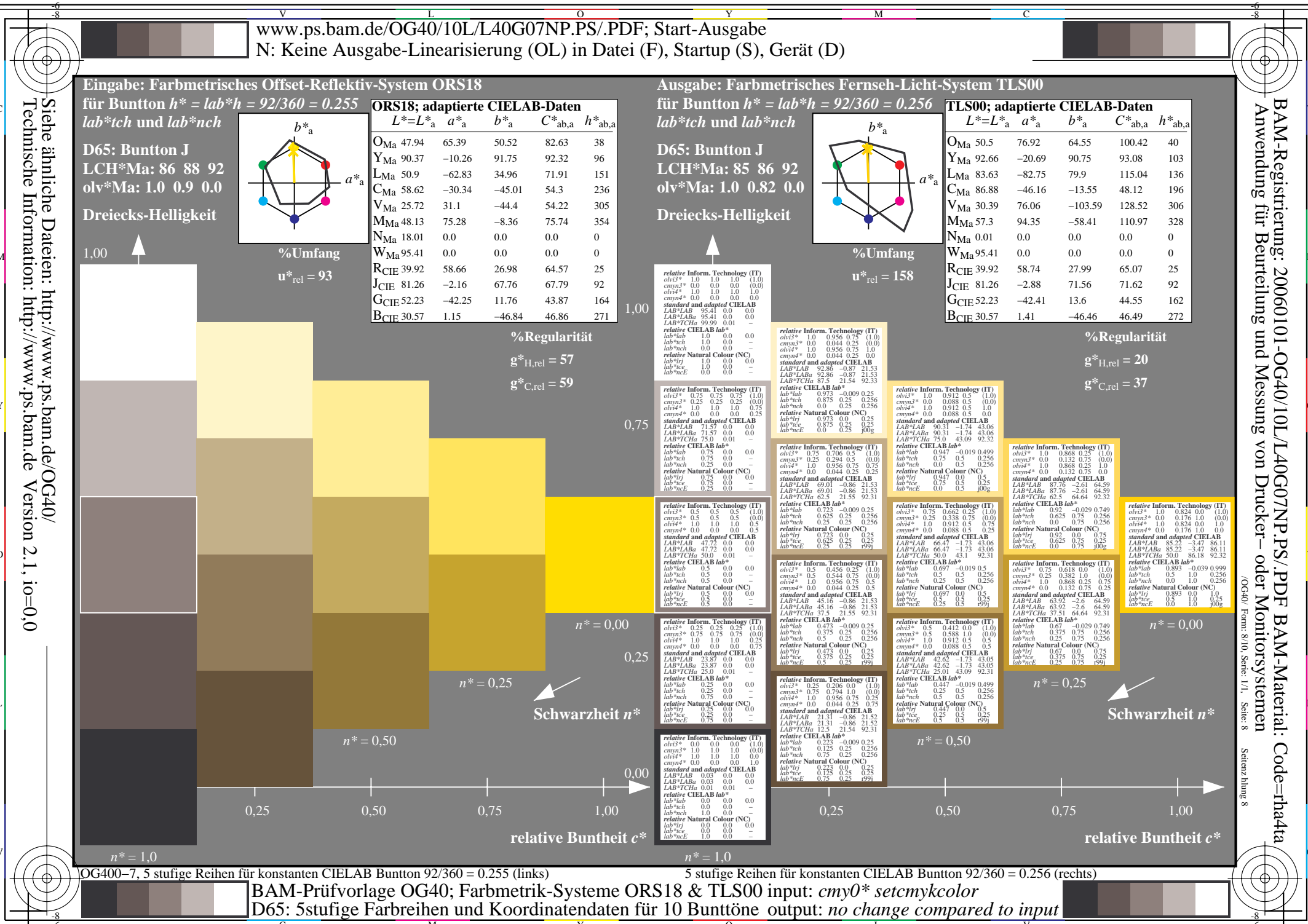
5 stufige Reihen für konstanten CIELAB Bunton 328/360 = 0.912 (rechts)



OG400-7, 5 stufige Reihen für konstanten CIELAB Bunton 25/360 = 0.069 (links)

5 stufige Reihen für konstanten CIELAB Bunton 25/360 = 0.071 (rechts)

BAM-Prüfvorlage OG40; Farbmétrik-Systeme ORS18 & TLS00 input: $cmy0* \text{setcmykcolor}$
D65: 5stufige Farbreihen und Koordinatendaten für 10 Bunttöne output: no change compared to input



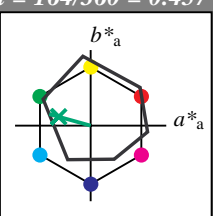
Siehe ähnliche Dateien: <http://www.ps.bam.de/OG40/>
Technische Information: <http://www.ps.bam.de> Version 2.1, io=0

Eingabe: Farbmétrisches Offset-Reflektiv-System ORS18

für Bunton $h^* = lab^*h = 164/360 = 0.457$
 lab^*tch und lab^*nch

D65: Bunton G
LCH*Ma: 53 57 164
olv*Ma: 0.0 1.0 0.25

Dreiecks-Helligkeit



%Umfang
 $u^*_{rel} = 93$

ORS18; adaptierte CIELAB-Daten

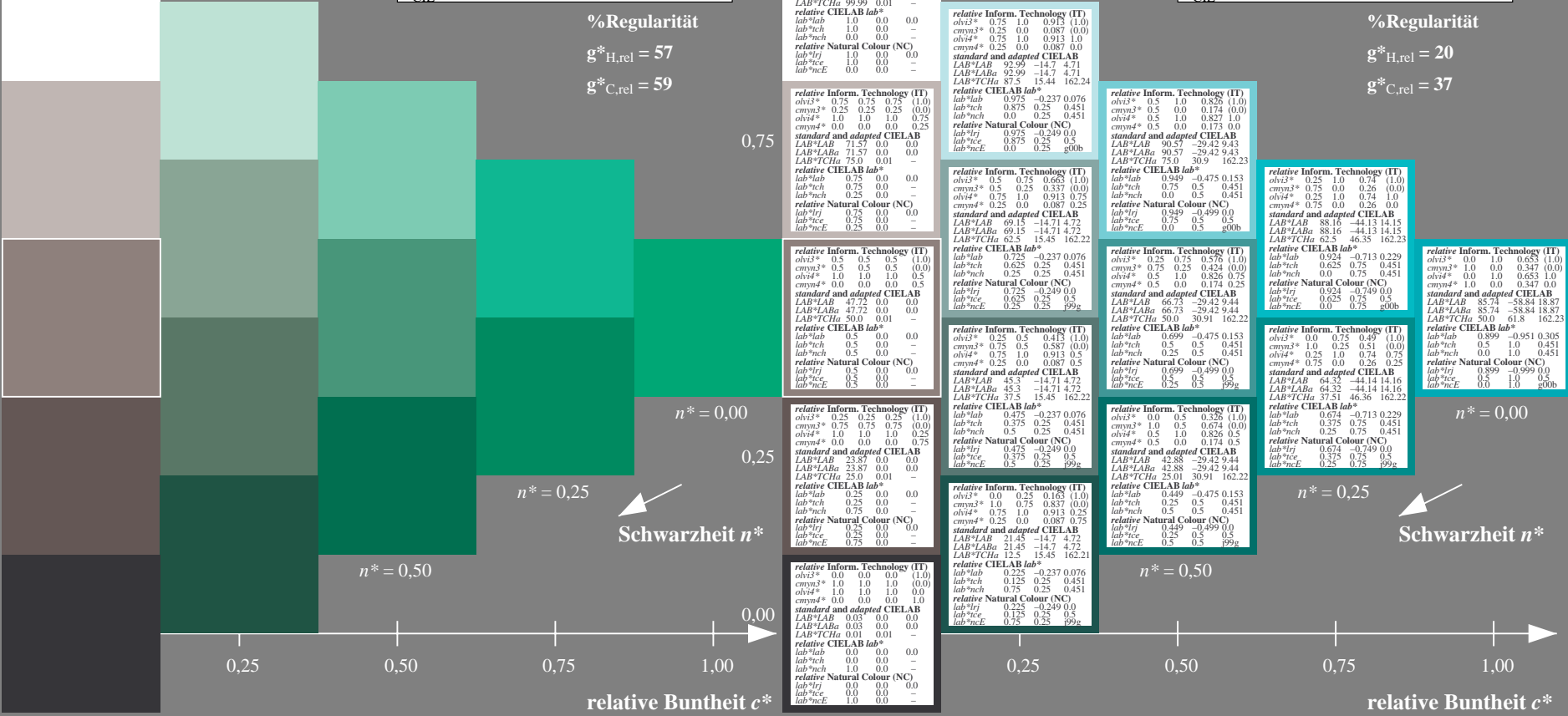
	$L^*=L^*_a$	a^*_a	b^*_a	$C^*_{ab,a}$	$h^*_{ab,a}$
O _{Ma}	47.94	65.39	50.52	82.63	38
Y _{Ma}	90.37	-10.26	91.75	92.32	96
L _{Ma}	50.9	-62.83	34.96	71.91	151
C _{Ma}	58.62	-30.34	-45.01	54.3	236
V _{Ma}	25.72	31.1	-44.4	54.22	305
M _{Ma}	48.13	75.28	-8.36	75.74	354
N _{Ma}	18.01	0.0	0.0	0.0	0
W _{Ma}	95.41	0.0	0.0	0.0	0
R _{CIE}	39.92	58.66	26.98	64.57	25
J _{CIE}	81.26	-2.16	67.76	67.79	92
G _{CIE}	52.23	-42.25	11.76	43.87	164
B _{CIE}	30.57	1.15	-46.84	46.86	271



%Regularität

$g^*_{H,rel} = 57$

$g^*_{C,rel} = 59$



OG400-7, 5 stufige Reihen für konstanten CIELAB Bunnton 164/360 = 0.457 (links)

Ausgabe: Farbmétrisches Fernseh-Licht-System TLS00

für Bunton $h^* = lab^*h = 162/360 = 0.451$

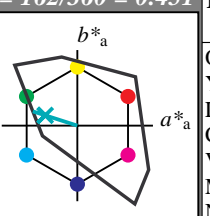
lab^*tch und lab^*nch

D65: Bunton G

LCH*Ma: 86 62 162

olv*Ma: 0.0 1.0 0.65

Dreiecks-Helligkeit

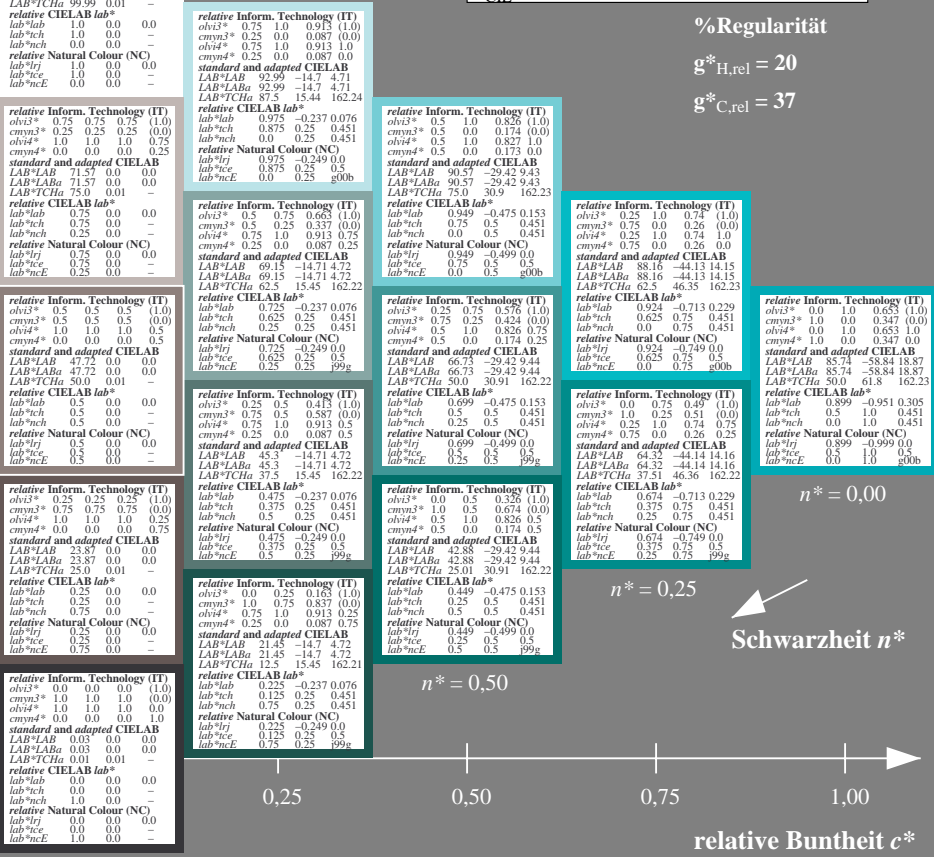


%Umfang
 $u^*_{rel} = 158$

%Regularität

$g^*_{H,rel} = 20$

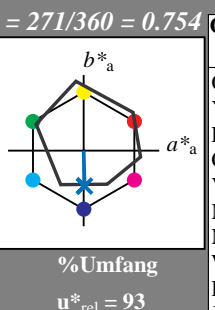
$g^*_{C,rel} = 37$



5 stufige Reihen für konstanten CIELAB Bunnton 162/360 = 0.451 (rechts)

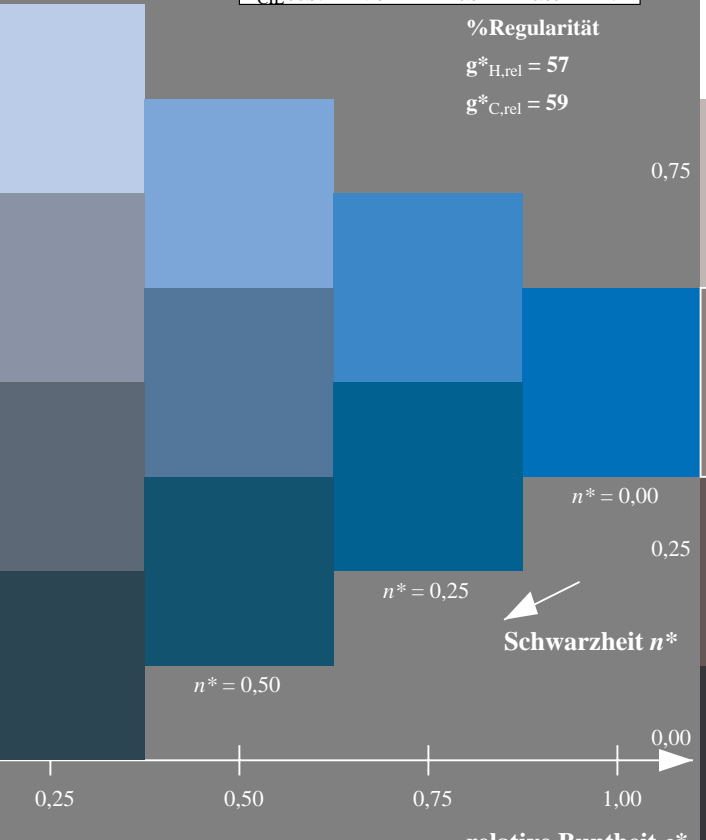
BAM-Prüfvorlage OG40; Farbmétrik-Systeme ORS18 & TLS00 input: $cmy0*$ setcmykcolor

D65: 5stufige Farbreihen und Koordinatendaten für 10 Bunntöne output: no change compared to input



ORS18; adaptierte CIELAB-Daten

	$L^*=L^*_a$	a^*_a	b^*_a	$C^*_{ab,a}$	$h^*_{ab,a}$
O _{Ma}	47.94	65.39	50.52	82.63	38
Y _{Ma}	90.37	-10.26	91.75	92.32	96
L _{Ma}	50.9	-62.83	34.96	71.91	151
C _{Ma}	58.62	-30.34	-45.01	54.3	236
V _{Ma}	25.72	31.1	-44.4	54.22	305
M _{Ma}	48.13	75.28	-8.36	75.74	354
N _{Ma}	18.01	0.0	0.0	0.0	0
W _{Ma}	95.41	0.0	0.0	0.0	0
R _{CIE}	39.92	58.66	26.98	64.57	25
J _{CIE}	81.26	-2.16	67.76	67.79	92
G _{CIE}	52.23	-42.25	11.76	43.87	164
B _{CIE}	30.57	1.15	-46.84	46.86	271



Ausgabe: Farbmétrisches Fernseh-Licht-System TLS00

für Bunton $h^* = lab^*h = 272/360 = 0.755$

lab^*tch und lab^*nch

D65: Bunton B
 LCH*Ma: 65 49 272
 olv*Ma: 0.0 0.61 1.0

Dreiecks-Helligkeit

1,00 ↑

%Umfang
 $u^*_{rel} = 158$

TLS00; adaptierte CIELAB-Daten

	$L^*=L^*_a$	a^*_a	b^*_a	$C^*_{ab,a}$	$h^*_{ab,a}$
O _{Ma}	50.5	76.92	64.55	100.42	40
Y _{Ma}	92.66	-20.69	90.75	93.08	103
L _{Ma}	83.63	-82.75	79.9	115.04	136
C _{Ma}	86.88	-46.16	-13.55	48.12	196
V _{Ma}	30.39	76.06	-103.59	128.52	306
M _{Ma}	57.3	94.35	-58.41	110.97	328
N _{Ma}	0.01	0.0	0.0	0.0	0
W _{Ma}	95.41	0.0	0.0	0.0	0
R _{CIE}	39.92	58.74	27.99	65.07	25
J _{CIE}	81.26	-2.88	71.56	71.62	92
G _{CIE}	52.23	-42.41	13.6	44.55	162
B _{CIE}	30.57	1.41	-46.46	46.49	272

